

С 343г

B-17

ОБЪЕДИНЕННЫЙ
ИНСТИТУТ
ЯДЕРНЫХ
ИССЛЕДОВАНИЙ

Дубна

P - 2158



Лаборатория нейтронной физики

Ван Най-янъ, Э.Н. Каржавина, А.Б. Попов,
Ю.С. Язвицкий, Яо Чи-чуань

НЕЙТРОННЫЕ РЕЗОНАНСЫ

ИЗОТОПОВ ИТТЕРБИЯ

*Intern. Conf. on the study
of nucl. str. structure with
neutrons. Antwerp, 1965
Rep..., Dubna 1965, p. 11-16. (... ? - 2214)*

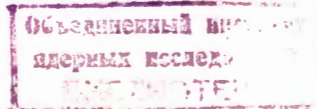
1965

P - 2158

3349/, №
Ван Най-янь, Э.Н. Каржавина, А.Б. Полов,
Ю.С. Яэвицкий, Яо Чи-чуань

НЕЙТРОННЫЕ РЕЗОНАНСЫ
ИЗОТОПОВ ИТТЕРБИЯ

Направлено в журнал "Ядерная физика"



На нейтронном спектрометре Лаборатории нейтронной физики Объединенного института ядерных исследований^{/1/}, действующем на базе реактора ИБР^{/2/}, были проведены измерения кривых пропускания и кривых выхода захватных гамма-лучей для нескольких образцов из естественного иттербия и из иттербия, обогащенного различными изотопами.

Кривые пропускания измерялись с помощью жидкостного детектора с метилборатом, имеющего полезную площадь 500 см^2 и эффективность к нейtronам энергии 100 эв около 50%. Кривые выхода захватного γ -излучения измерялись с помощью двух спиритильационных счетчиков с кристаллами $\text{NaI}(\text{Ti})$ размером $100 \times 100 \text{ мм}$. Счетчики располагались в пучке нейтронов в защите из свинца и парафина с бором, от рассеянных образцом нейтронов кристаллы экранировались также парафином с бором. Отметим, что энергетическое разрешение счетчиков составляло примерно 10% на линии γ -лучей Zn^{65} . Импульсы со счетчиков суммировались, порог регистрации γ -лучей был установлен 800 кэв.

Измерения пропускания были выполнены в диапазоне от 6 до 150 эв с шестью образцами из естественного иттербия в форме Yb_2O_3 . Толщина образцов была $2,64 \cdot 10^{22}$; $8,91 \cdot 10^{21}$; $4,81 \cdot 10^{21}$; $2,12 \cdot 10^{21}$; $1,18 \cdot 10^{21}$ в $5,93 \cdot 10^{20}$ ядер иттербия на см^2 площади образца. Методика измерений и вычисления кривой пропускания (с ошибками) на электронно-вычислительной машине достаточно подробно описаны в работе^{/4/}. Статистические ошибки пропускания для разных образцов составляют 1,5–2,5%. Измерения кривых выхода захватного γ -излучения были проведены в области от 3 до 150 эв с образцом из естественного иттербия толщиной $2,38 \cdot 10^{21}$ ядер/ см^2 и с образцами из изотопов Yb^{171} , Yb^{172} , Yb^{178} , Yb^{174} , Yb^{176} в виде Yb_2O_3 . Формы для образцов были изготовлены в виде дисков диаметром 30 мм. Их характеристики приведены в таблице 1. Изотопов Yb^{168} и Yb^{170} не имелось в количестве, достаточном для изготовления образцов, поэтому измерений с ними не проводилось.

Измерения с изотопами позволили произвести изотопическую идентификацию 40 из 42 обнаруженных резонансов, и это, в свою очередь, дало возможность впервые определить параметры соответствующих уровней изотопов иттербия. Изотопическая принадлежность резонансов определялась в подавляющем большинстве случаев по наличию резонанса на кривой выхода захватных γ -лучей для данного изотопа при одновременном отсутствии этого резонанса на кривых для других изотопов. В качестве примера на рис. 1 приведен участок кривых выхода γ -лучей от захвата нейтронов для образцов из естественного Yb , из Yb^{171} и из Yb^{173} .

В энергетической области от 3 до 150 эв Yb^{171} приписано 22 резонанса, Yb^{173} – 18 резонансов, Yb^{172} – один резонанс; резонансов, принадлежащих Yb^{174} и Yb^{176} не обнаружено. Три резонанса (при 22,6; 40,3 и 73,2 эв) не могут быть приписаны ни одному из изотопов Yb^{171} , Yb^{172} , Yb^{173} , Yb^{174} и Yb^{176} . Эти резонансы дали четкие пики на кривой выхода захватных γ -лучей для естественного иттербия. Два из них (40,3 и 73,2 эв) дали на кривых пропускания (естественный иттербий) провалы более глубокие, чем многие идентифицированные резонансы. Однако и эти два резонанса, и более слабый резонанс при 22,6 эв едва наметились на кривых захватных γ -лучей для Yb^{171} и Yb^{173} и совсем не заметны на кривых для других изотопов, с которыми велись измерения. В то же время эти резонансы не могут быть приписаны каким-либо примесям, так как у всех примесей, возможных в использованных образцах естественного иттербия и имеющих резонансы вблизи трех указанных энергий, есть гораздо более сильные резонансы при других энергиях и эти более сильные резонансы не проявились в наших измерениях. Три указанные резонансы следует, очевидно, приписать изотопам Yb^{168} и Yb^{170} . При этом резонанс 40,3 эв, скорее всего, принадлежит Yb^{170} . В пользу этого заключения говорит следующее. Резонанс 40,3 эв хорошо виден на γ -лучах от образца естественного иттербия, значительно слабее при измерениях с образцом Yb^{171} и почти не заметен при измерениях с образцом Yb^{173} . Это коррелирует с изменением содержания Yb^{170} в данных образцах (3%, 0,8% и 0,1% соответственно). Содержание Yb^{168} во всех трех образцах примерно одинаково (0,1%). В предположении, что резонанс 40,3 эв принадлежит Yb^{170} , получены его параметры методом площадей по кривым пропускания для 5 толщин образцов.

Определение параметров резонансов на основе изотопической идентификации резонансов производилось различными способами. В тех случаях, когда резонансы были достаточно сильны и могли быть хорошо отделены от соседних резонансов, обычным методом площадей определялись значения $g\Gamma_a$ и Γ резонанса. Как правило, по кривым пропускания вычислялась не полная площадь резонанса, а ее часть без учета "крыльев". Поправка на крылья вводилась по формуле $\Delta A = \frac{\pi \sigma_0 \Gamma^2}{4} \left(\frac{1}{\epsilon_1} + \frac{1}{\epsilon_2} \right)$, где ϵ_1 и ϵ_2 есть модули разностей резонансной энергии и граничных энергий, между которыми подсчитывалась площадь. При этом использовался метод последовательных приближений, благодаря чему достигалась необходимая точность. Нахождение параметров резонансов по данным о площадях резонансных провалов для образцов разных толщин велось на электронно-вычислительной машине методом наименьших квадратов с использованием теоретических выражений, не учитывающих интерференции между потенциальным и резонансным рассеянием и между соседними резонансами. Программа расчетов^{/5/} предусматривала выдачу значений Γ и $g\Gamma_a$, а также соответствующих среднеквадратичных погрешностей $\sigma(\Gamma)$ и $\sigma(g\Gamma_a)$ и значения χ^2 . Ошибки, приведенные в сводке параметров резонансов (таблица 2), увеличены согласно требованиям метода наименьших квадратов на фактор $\sqrt{\frac{\chi^2}{n-2}}$, где n – число образцов.

Описанным выше методом определены параметры резонансов 13,13; 28,2; 41,5; 80,4 эв Yb^{171} и резонансов 17,8; 31,8; 45,5; 59,0 и 86,7 эв Yb^{173} . Для всех этих резонансов $g\Gamma_n \ll \Gamma$, поэтому предположение $g = \frac{1}{2}$ обеспечивало достаточную точность определения Γ_y на основе соотношения $\Gamma_y = \Gamma - 2g\Gamma_n$. Усреднение радиационных ширин по перечисленным выше резонансам привело к значениям $\bar{\Gamma}_y = 84 \pm 11$ мэв и $\bar{\Gamma}_y = 77 \pm 7$ мэв для Yb^{171} и Yb^{173} соответственно. Эти значения были использованы позже для нормировки отсчетов детектора захватных гамма-лучей.

В тех случаях, когда на естественной смеси изотопов можно было достаточно надежно отделить резонанс от соседних резонансов, но резонанс был слабым, по кривым пропускания определялись лишь значения $g\Gamma_n$ (площадь резонансного провала на кривой пропускания для тонкого образца равна $2\pi^2 n \lambda_0^2 g\Gamma_n$, где n - число ядер на cm^2 образца, λ_0 - длина волны нейтронов резонансной энергии). К этой категории резонансов относятся резонансы 21,8; 34,7; 65,0; 69,1 эв.

Параметры резонансов, плохо разделяющихся на образцах из естественного иттербия, определялись по кривым выхода захватных γ -лучей, измеренных на изотопах. При этом проделывалась следующая процедура. Сначала по сумме отсчетов в резонансе на кривой радиационного захвата (эта сумма связана с нейтронным потоком $\Pi(E)$, параметрами резонанса Γ и Γ_y , площадью резонанса на кривой пропускания образца той же толщины A и эффективностью регистрации акта радиационного захвата соотношением $(\Sigma N_1)_k = \Pi(E_{ok})\epsilon_y \frac{\Gamma_y}{\Gamma} A$, где k - номер резонанса) для резонансов, для которых по кривым пропускания были определены Γ_y , Γ и $g\Gamma_n$, вычислялись значения произведений $\Pi(E_{ok})\epsilon_y$. По этим произведениям с помощью экспериментальной кривой зависимости потока нейтронов Π от энергии x^k , в предложении, что ϵ_y не изменяется от резонанса к резонансу, находились значения произведений $\Pi(E_{ok})\epsilon_y$ для тех резонансов, параметры которых следовало определить. После этого находились частные $\frac{(\Sigma N_1)_k}{\Pi(E_{ok})\epsilon_y} = \frac{\Gamma_y}{\Gamma} A$ для этих резонансов и с помощью графиков Юза определялись $g\Gamma_n$. При данной операции использовались средние значения радиационных ширин изотопов Γ_y , определенные ранее. В тех случаях, когда значения $g\Gamma_n$ оказывались большими, в результаты вводились поправки на резонансный захват после рассеяния по методу, предложенному в работе ⁷⁷.

Полученные параметры уровней приведены в таблице 2. На рис. 2 и 3 изображены интегральные распределения приведенных нейтронных ширин резонансов Yb^{171} и Yb^{173} . Экспериментальные распределения согласуются с теоретическими распределениями Портера-Томаса (x^2 - распределение с $\nu = 1$), если считать, что при измерениях с каждым из изотопов Yb^{171} и Yb^{173} пропущено 3-4 резонанса.

⁷⁷ Такая кривая была измерена в группе Л.Б. Пикельнера с помощью пропорциональных борных счетчиков.

При разрешении 0,04 - 0,06 мкsec/метр пропуск такого количества резонансов представляется естественным. Графики зависимости числа обнаруженных уровней от энергии (рис. 4 и 5) имеют линейный характер (до 130 эв у Yb^{178} и до 100 эв Yb^{171}) и подтверждают, что в экспериментах не было пропущено значительного количества уровней. Среднее расстояние между уровнями согласно графикам оказывается равным $5,8 \pm 1,3$ эв для Yb^{171} и $8,5 \pm 1,5$ эв для Yb^{178} без поправок на пропущенные уровни и $5,5 \pm 1,3$ и $7,3 \pm 1,5$ эв с учетом поправок. Поскольку массы ядер Yb^{171} и Yb^{178} близки и близки энергии связи нейтронов в Yb^{172} и Yb^{174} (8,0 Мэв и 7,5 Мэв соответственно), а спины Yb^{171} и Yb^{178} различны ($1/2$ и $5/2$ соответственно), данные о средних расстояниях между уровнями позволяют получить оценку параметра σ в формуле Бете для плотности уровней

$$\rho = \frac{c(2J+1)}{U^2} \exp\left[-\frac{J(J+1)}{2\sigma^2}\right] \exp(2\sqrt{aU}),$$

где U -энергия возбуждения ядра, a , c , σ -некоторые константы. Если считать, что c и a одинаковы для Yb^{171} и Yb^{178} , то для σ получаем значение 2,5, которое согласуется с данными, полученными другими методами (см. обзор ^{8/}). При вычислении σ значение a было взято из работы ^{8/}. Если допустить при этом различие в значениях a для Yb^{171} и Yb^{178} в пределах 10%, то можно получить соответствующие границы параметра σ ($\sigma = 2,5 \pm 1,8$).

Графики зависимости $\sum 2g\Gamma_n^0$ от энергии (рис. 6 и 7) позволяют определить склоновые функции (в предположении, что числа резонансов со спином $I + 1/2$ и $I - 1/2$ одинаковы) $S_{0^{171}} = (1,1 \pm 0,4) \cdot 10^{-4}$ и $S_{0^{178}} = (2,4 \pm 0,8) \cdot 10^{-4}$. Погрешности этих значений вычислены в предположении справедливости распределения Портера-Томаса для нейтронных ширин и распределения Вигнера для расстояний между уровнями.

В заключение авторы выражают свою признательность Н.Ю. Шириковской и И.И. Шелонцеву за помощь в обработке экспериментальных данных.

Л и т е р а т у р а

1. Г.И. Забиякин, Л.Б. Пикельнер и др. Характеристики ИБРа как нейтронного спектрометра. Материалы рабочего совещания по физике медленных нейтронов, 7-12 декабря 1981 г. Препринт ОИЯИ, 956, Дубна, 1982.
2. Г.Е. Блохин, Д.И. Блохинцев и др. Атомная энергия, 10, 437 (1961).
3. И. Визи, Г.П. Жуков и др. Nuclear Electronics, 1, 27, IAEA, Vienna, 1962.
4. Ван Най-янь, И. Визи и др. ЖЭТФ, 45, 1743 (1963).
5. Э.Н. Каржавина, А.Б. Попов и др. Препринт ОИЯИ, Р-2198, Дубна, 1985.

6. В.Н. Ефимов, И.И. Шелонцев. Препринт ОИЯИ, Р-841, 1961.
 7. J.E.Draper. Nucl.Sci. and Eng., N 6, 552(1956).
 8. J.A.Harvey, Neutron time-of-flight Methods, 23, EAEC, Brussels, 1961.

Рукопись поступила в издательский отдел
 5 мая 1965 г.

Таблица 1

Основной изотоп	Толщина образца ядер изотопа/см ²	% обогащения
Yb ¹⁷¹	1,21.10 ²¹	95%
Yb ¹⁷¹	2,55.10 ²¹	90%
Yb ¹⁷³	3,18.10 ²¹	90%
Yb ¹⁷³	1,97.10 ²¹	77,6%
Yb ¹⁷⁴	3,15.10 ²¹	96%
Yb ¹⁷⁶	1,76.10 ²¹	90%

Таблица 2

Параметры резонансов изотопов иттербия

№/п	E_0 , эВ	Изотоп	Γ , мэВ	$\epsilon\Gamma_n$, мэВ	$2\epsilon\Gamma_n^0$
1	7,93±0,02	I71		1,44±0,17	1,03±0,12
2	8,13±0,02	I71		0,49±0,06	0,34±0,04
3	8,85±0,04	I71		0,025±0,010	0,017±0,007
4	13,13±0,07	I71		93±10	
5	21,8±0,1	I71		2,5±0,1	1,38±0,06
6	28,2±0,1	I71		0,19±0,03	0,06±0,013
7	34,7±0,2	I71		1,8±0,1	0,68±0,04
8	41,5±0,2	I71		3,8±0,8	1,3±0,3
9	46,5±0,3	I71		7,2±0,7	2,2±0,2
10	53,2±0,3	I71		0,90±0,15	0,26±0,04
11	54,4±0,3	I71		5±1	1,4±0,3
12	60,4±0,4	I71		16±3	4,3±0,8
13	65,0±0,4	I71		4,3±0,3	1,10±0,08
14	77,3±0,6	I71		7±1	1,74±0,25
15	82,6±0,6	I71		II±2	2,5±0,5
16	84,7±0,7	I71		2,4±0,3	0,53±0,07
17	96,1±0,8	I71		2,5±0,4	0,54±0,09
18	I08±1	I71		3,0±0,4	0,61±0,08
19	II3±1	I71		37±7	7,1±1,4
20	I28±1,2	I71		14±3	2,6±0,5
21	141±1,4	I71		20±5	3,5±0,9
22	147±1,5	I71		10±2	1,7±0,3
23	4,53±0,01	I73		7±2	1,2±0,3
24	17,80±0,07	I73		0,082±0,009	0,077±0,008
25	31,6±0,15	I73		140±10	14±1
26	35,8±0,2	I73		165±14	36±3
27	45,5±0,2	I73		104±16	24±4
28	53,8±0,3	I73		15±1,4	8,0±1,3
29	59,0±0,4	I73		6,6±1,2	4,4±0,4
30	66,7±0,5	I73		141±65	4,0±0,7
31	69,1±0,5	I73		143±24	15,6±1,2
32	74,8±0,6	I73		5,3±0,7	3,8±0,3
33	76,7±0,6	I73		4,1±0,7	1,3±0,2
34	97,5±0,8	I73		18±3	0,95±0,12
35	I06±1	I73		6,4±0,8	4,1±0,7
36	II2±1	I73		26±5	1,3±0,2
37	I25±1,2	I73		5,4±0,8	5±1
38	I30±1,2	I73		9,4±1,4	1,4±0,2
39	40,3±0,2	I70		13,6±1,8	1,7±0,2
40	73,2±0,5	I70?		197±14	2,4±0,3
41	22,6±0,1			31±2	9,0±1,4
42	I41±1,5	I72		77±12	

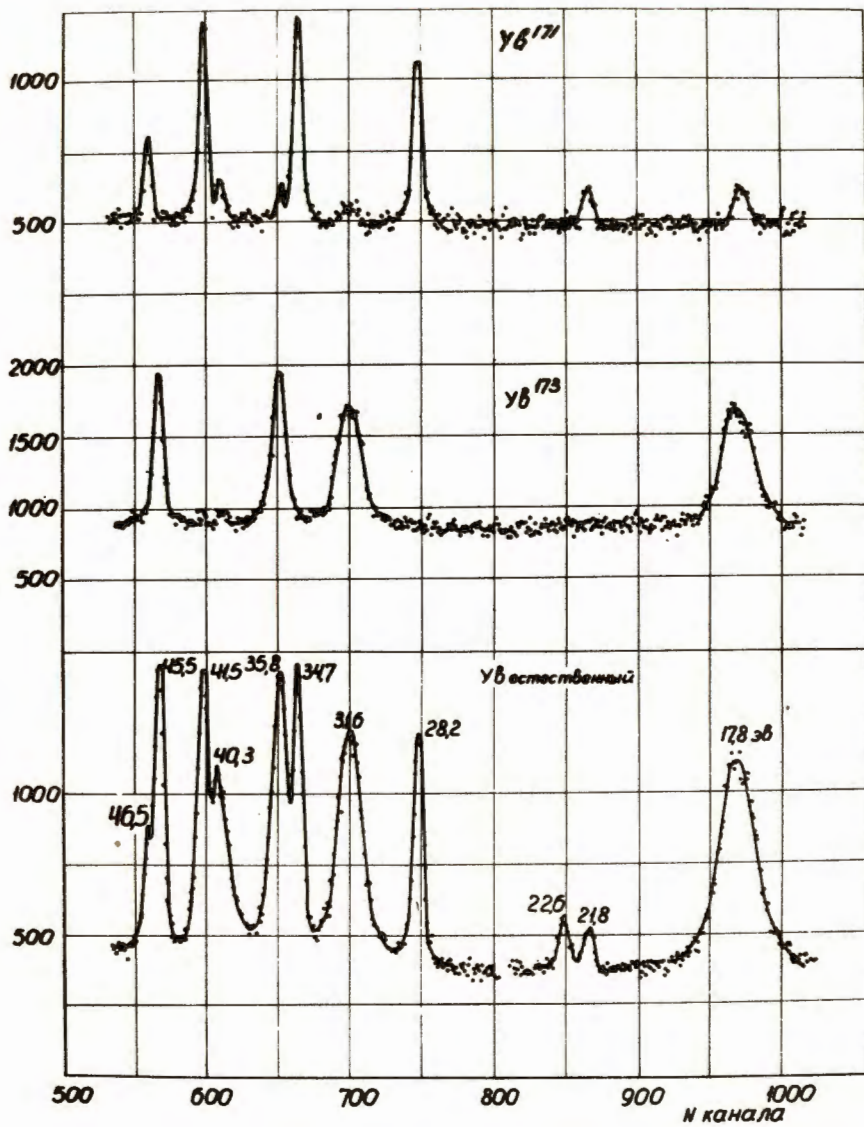
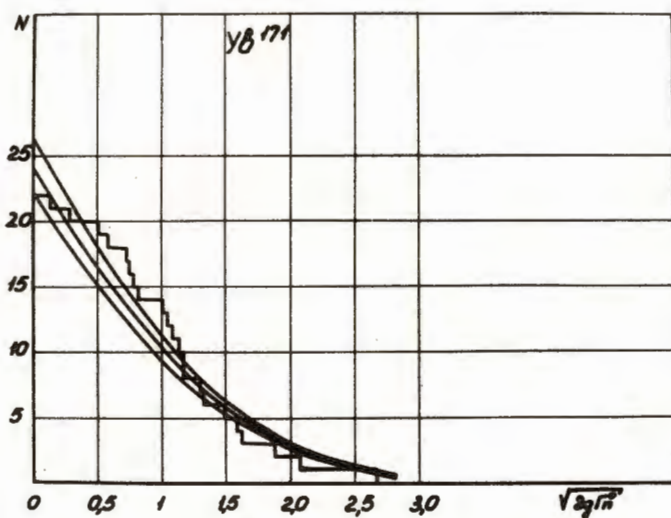
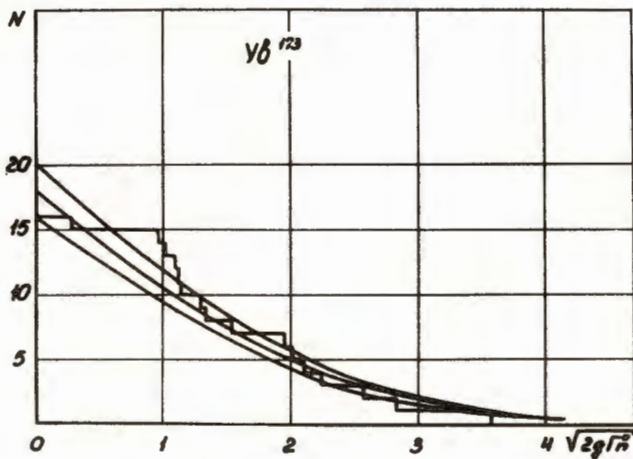


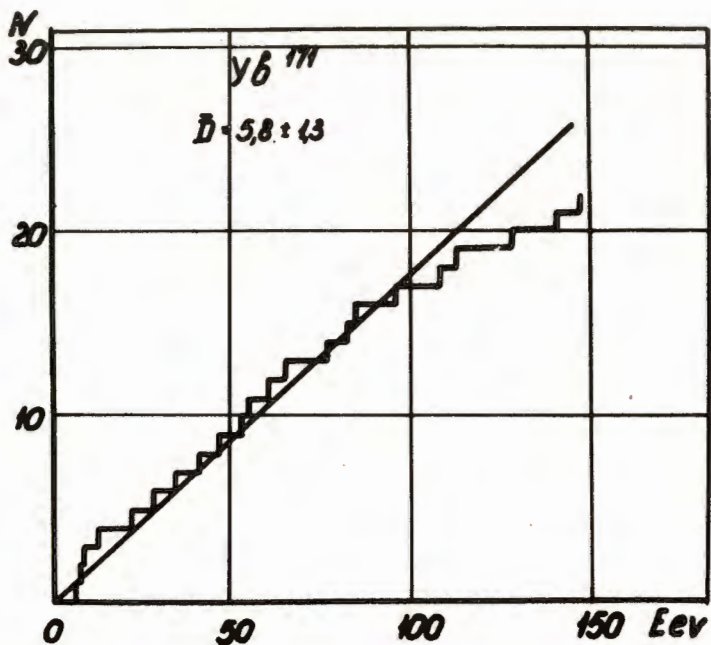
Рис. 1. Участок временного спектра выхода захватных гамма-лучей, полученный для образцов из естественного иттербия и обогащенных изотопами Yb^{171} и Yb^{173} .



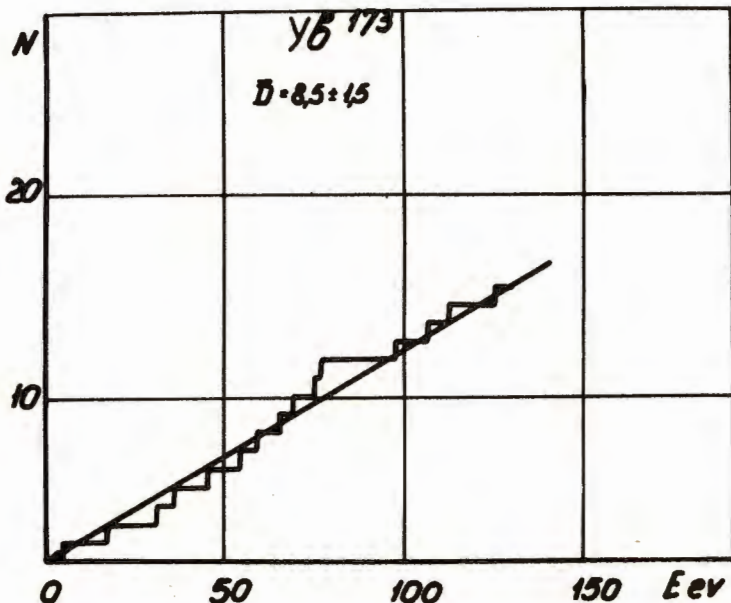
Р и с. 2. Интегральное распределение приведенных нейтронных ширин для резонансов Yb^{171} .



Р и с. 3. Интегральное распределение приведенных нейтронных ширин для резонансов Yb^{173} .



Р и с. 4. График зависимости числа зарегистрированных резонансов Yb^{171} от энергии нейtronов.



Р и с. 5. График зависимости числа зарегистрированных резонансов Yb^{173} от энергии нейtronов.

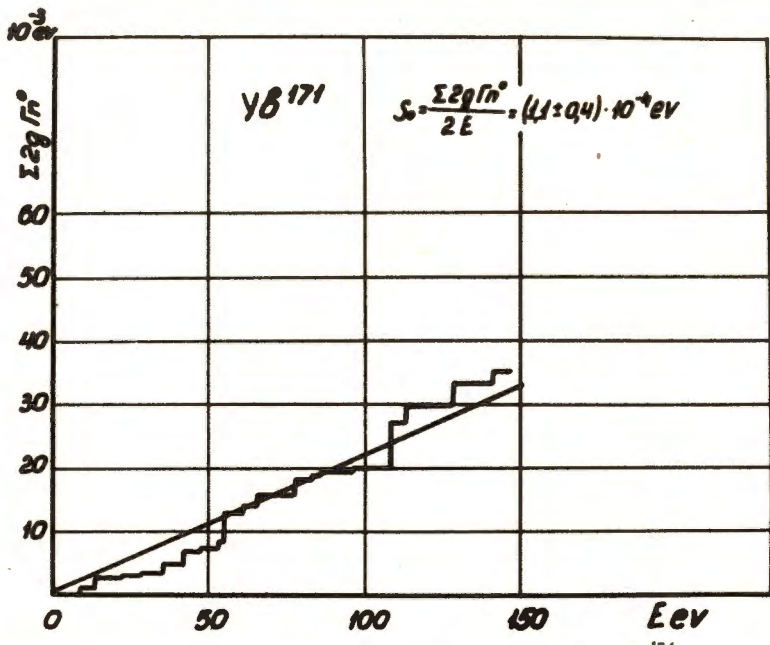


Рис. 6. Зависимость суммы приведенных нейтронных ширин Yb¹⁷¹ от энергии нейронов.

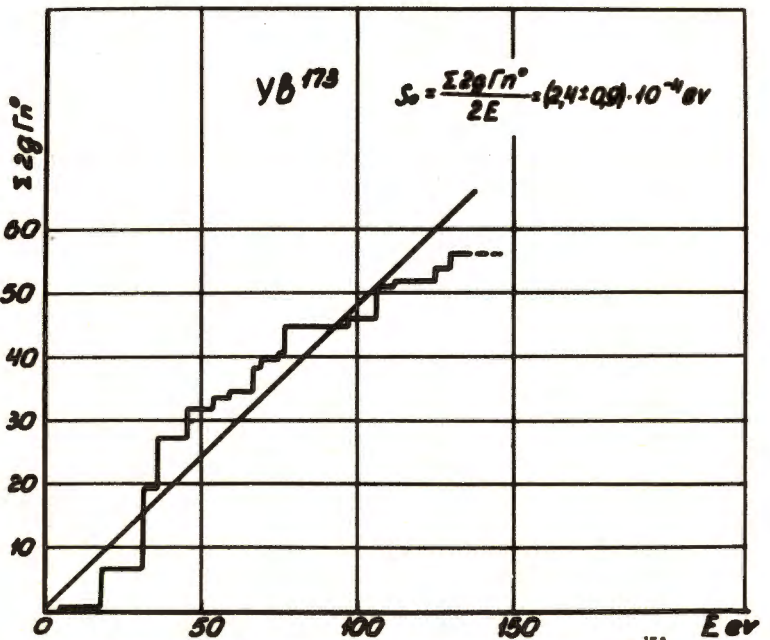


Рис. 7. Зависимость суммы приведенных нейтронных ширин Yb¹⁷⁸ от энергии нейронов.